

**Zeitschrift:** Bulletin technique de la Suisse romande  
**Band:** 90 (1964)  
**Heft:** 19: Association amicale des anciens élèves de l'École polytechnique de l'Université de Lausanne, Congrès mondial, Lausanne, 18-22 septembre 1964

**Artikel:** Le calcul des déformations des systèmes articulés hyperstatiques  
**Autor:** Ansermet, A.  
**DOI:** <https://doi.org/10.5169/seals-67009>

### **Nutzungsbedingungen**

Die ETH-Bibliothek ist die Anbieterin der digitalisierten Zeitschriften. Sie besitzt keine Urheberrechte an den Zeitschriften und ist nicht verantwortlich für deren Inhalte. Die Rechte liegen in der Regel bei den Herausgebern beziehungsweise den externen Rechteinhabern. [Siehe Rechtliche Hinweise.](#)

### **Conditions d'utilisation**

L'ETH Library est le fournisseur des revues numérisées. Elle ne détient aucun droit d'auteur sur les revues et n'est pas responsable de leur contenu. En règle générale, les droits sont détenus par les éditeurs ou les détenteurs de droits externes. [Voir Informations légales.](#)

### **Terms of use**

The ETH Library is the provider of the digitised journals. It does not own any copyrights to the journals and is not responsible for their content. The rights usually lie with the publishers or the external rights holders. [See Legal notice.](#)

**Download PDF:** 14.03.2025

**ETH-Bibliothek Zürich, E-Periodica, <https://www.e-periodica.ch>**

tore en ferrite, les courbes pour les fréquences entre 800 et 4000 Hz ne se distinguent guère. Ainsi on n'a porté dans le diagramme que les valeurs pour  $f = 800$  Hz.

La figure 5 montre la variation de la perméabilité et de l'angle de pertes de ces trois bobines et de deux bobines à pot ferrite avec entrefer en fonction de la température. Les mesures ont été faites à 800 Hz et pour un champ faible, c'est-à-dire pour un champ beaucoup plus faible que la force coercitive du noyau étudié. Pour la perméabilité, on a porté dans le diagramme des valeurs relatives en mettant la perméabilité à 0°C égale 100 %.

On peut tirer de ces premières mesures la règle générale, qu'une baisse de la température a pour conséquence une baisse de la perméabilité et pour les noyaux en ferrite une augmentation de l'angle de pertes. Mais ces variations sont très différentes d'une matière à l'autre. Tandis que les caractéristiques du noyau comprimé et de l'isoperm ne changent que peu jusqu'à -180°C, ceux du ferrite changent fortement<sup>1</sup>. Mais retenons que les perméabilités initiales à température ambiante des deux premiers sont relativement faibles (env. 140, resp. 90) mais celle du ferrite beaucoup plus élevée (env. 2500).

Comme nous l'avons dit plus haut, nos mesures n'ont fait que commencer. D'autres matériaux sont déjà à l'étude et des mesures à plus basses températures (hydrogène liquide) sont en préparation. Nous en reparlerons dans un exposé ultérieur.

Je ne voudrais pas manquer de remercier ici la Fondation Hasler, qui a mis le « nervus rerum » à disposition, nous permettant ces études ; les Câbleries et Tréfileries de Cossonay, qui ont fourni les bobines ; le Laboratoire du génie atomique de l'EPUL, professeur Vittoz,

<sup>1</sup> J. ROZES : Etudes des variations en fonction de la fréquence des caractéristiques électriques et magnétiques d'une ferrite de nickel-zinc. *Câbles et transmissions* 13 (1959) 1, p. 26.

## LE CALCUL DES DÉFORMATIONS DES SYSTÈMES ARTICULÉS HYPERSTATIQUES

par A. ANSERMET, ingénieur, professeur

Le *Bulletin technique* a déjà consacré quelques pages à ce problème mais les exemples traités étaient simples. Grâce à l'appui accordé à titre bénévole par le centre de calcul électronique de l'EPUL (Prof. Blanc), il est possible de porter son choix sur des structures plus compliquées. La résolution de systèmes linéaires et surtout l'inversion de matrices ne donnent plus lieu à des calculs laborieux.

L'exemple choisi est inspiré par la thèse de Yung mais en ajoutant des barres surabondantes, ce qui confère au problème un tout autre caractère. C'est une coupole d'après Zimmermann (Reichstag), les dimensions étant ici un peu différentes. Certains ingénieurs, outre-Rhin, ont fait remarquer l'analogie existant avec le calcul de réseaux radiotéléométriques ; les mêmes formules et équations sont applicables en principe, circonstance bienvenue.

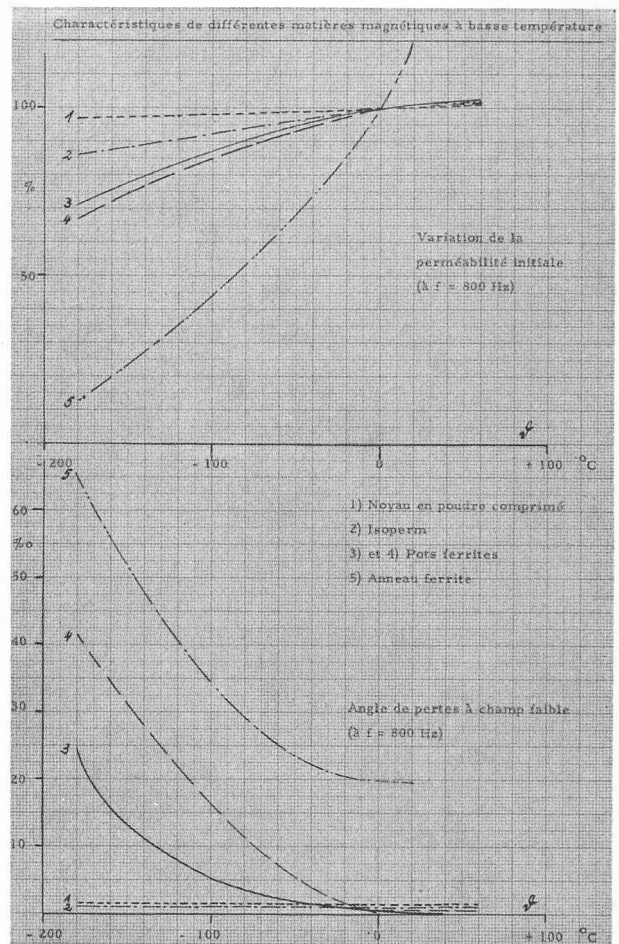
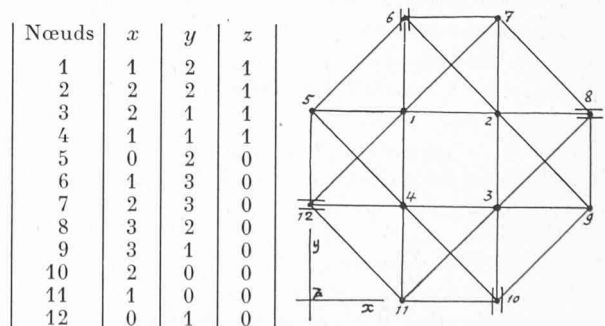


Fig. 5. — Perméabilité et angle de pertes en fonction de la température pour différentes matières magnétiques à  $f = 800$  Hz et à champs faibles.

qui nous a livré l'azote liquide, et mes collaborateurs, MM. P. Tacier et Ph. Zyromsky, étudiants, qui ont effectué ces mesures.



L'unité de mesure est arbitraire : 10, 12, 15... mètres. Toutes les valeurs sont positives à cause du choix des axes de coordonnées.

Par hypothèse il y a 12 liaisons simples ([5] p. 59)

$$\begin{aligned} dz_1 = dz_2 = dz_3 \dots = dz_8 = 0 \\ dx_6 = dx_{10} = 0 \quad dy_8 = dy_{12} = 0 \end{aligned}$$

Admettons de plus que, par voie graphique ou analytique (voir [5]), l'état fondamental (Grundsystem, voir [7]), est calculé ; les forces de remplacement pour les barres coupées sont arbitraires (1<sup>r</sup> par exemple). Cette étape du calcul ne donne lieu à aucun commentaire ; elle fournira les termes absolus des équations aux déformations  $f$ . Celles-ci peuvent revêtir deux formes pour une barre d'indice  $i$  reliant les nœuds  $g$  et  $h$  :

$$(1) \quad \nu_i = a_i (\delta x_g - \delta x_h) + b_i (\delta y_g - \delta y_h) + c_i (\delta z_g - \delta z_h)$$

$$(a_i^2 + b_i^2 + c_i^2 = 1)$$

$\nu_i$  étant l'allongement ou le raccourcissement de la barre ; c'est la solution de B. Mayor qui ne se prête pas au calcul de la dérivée de l'énergie ; l'éminent professeur a suivi une autre voie.

### Dérivées du travail ou de l'énergie

#### Choix des variables

A la base du calcul on a la condition :

$$(2) \quad \sum \left\{ \frac{ES}{2l} \left( \frac{Tl}{ES} \right)^2 \right\} = \text{minimum} = \sum (p\nu^2) = [p\nu\nu]$$

où  $E$  est le module d'élasticité,  $S$  la section transversale et  $l$  la longueur de la barre,  $T$  l'effort axial. Les poids  $p$  sont proportionnels à  $\frac{ES}{l}$ .

Pour certains auteurs, il n'y a guère qu'une solution : former les dérivées de l'énergie par rapport aux inconnues hyperstatiques  $X_1, X_2, X_3, \dots$  ; d'autres auteurs formulent des réserves (voir [6]), surtout si le degré d'hyperdétermination est élevé. Une solution qui a fait ses preuves en télémétrie consiste à former les dérivées de  $[p\nu\nu]$  par rapport aux variations de coordonnées figurant dans l'équation :

$$(3) \quad \nu_i = f_i + a_i (dx_g - dx_h) + b_i (dy_g - dy_h) + c_i (dz_g - dz_h).$$

Pour le calcul des déformations, les avantages sont manifestes. Le nombre des dérivées ne sera en général pas le même dans les deux solutions. Remarquons enfin que, dans le système (3), on pourrait éliminer les variations  $dx, dy, dz, \dots$

En d'autres termes, l'état fondamental, caractérisé par la valeur  $[pff] \cong [p\nu\nu]$ , est initial pour la variation des coordonnées des nœuds. Ce mode de calcul est depuis longtemps courant pour les réseaux géodésiques ; il a fait ses preuves. Les coordonnées varient à partir d'une solution appelée en général « provisoire ».

Le tableau ci-contre fournit les coefficients des équations (3) ; on pourrait les déterminer graphiquement (géométrie cotée). Le nombre de barres pourrait être plus élevé ainsi que le degré d'hyperdétermination. Autrefois le nombre d'équations normales jouait un grand rôle pour le choix des variables ; grâce au calcul

Tableau des coefficients  $a_i, b_i, c_i$

Barres	$dx_1$	$dy_1$	$dz_1$	$dx_2$	$dy_2$	$dz_2$	$dx_3$	$dy_3$	$dz_3$	$dx_4$	$dy_4$	$dz_4$	$dx_5$	$dy_5$	$dz_5$	$dx_6$	$dy_6$	$dz_6$	$dx_7$	$dy_7$	$dz_7$	$dx_8$	$dy_8$	$dz_8$	$dx_9$	$dy_9$	$dz_9$	$dx_{10}$	$dy_{10}$	$dz_{10}$	$dx_{11}$	$dy_{11}$	$dz_{11}$	$dx_{12}$																		
1-2	-1																																																			
2-3																																																				
3-4																																																				
4-1																																																				
1-5																																																				
1-6																																																				
2-7																																																				
2-8																																																				
3-9																																																				
3-10																																																				
4-11																																																				
4-12																																																				
1-7																																																				
2-6																																																				
2-9																																																				
3-8																																																				
3-11																																																				
4-10																																																				
4-5																																																				
1-12																																																				
5-6																																																				
6-7																																																				
7-8																																																				
8-9																																																				
9-10																																																				
10-11																																																				
11-12																																																				
12-5																																																				



$$\sqrt{Q_{xx}} = \sqrt{2,44} = \pm 1,56$$

$$\sqrt{Q_{yy}} = \sqrt{2,42} = \pm 1,55$$

$$\sqrt{Q_{zz}} = \sqrt{1,72} = \pm 1,31$$

Valeurs qui fournissent trois paires de plans respectivement normaux aux axes des  $x$ ,  $y$ ,  $z$  et tangents à l'ellipsoïde de déformation du nœud;  $Q_{xx} + Q_{yy} + Q_{zz} = 6,58 = K_1 + K_2 + K_3$  est un invariant exprimant une propriété géométrique connue, les  $K$  étant les racines de l'équation :

$$(12) \begin{vmatrix} (Q_{xx} - K) & Q_{xy} & Q_{xz} \\ Q_{xy} & (Q_{yy} - K) & Q_{yz} \\ Q_{xz} & Q_{yz} & (Q_{zz} - K) \end{vmatrix} = 0 \quad (\text{voir [4]})$$

Equation connue mais avec les notations de la méthode des moindres carrés; les  $\sqrt{K_1}$ ,  $\sqrt{K_2}$ ,  $\sqrt{K_3}$  sont les demi-axes principaux toujours pour  $m_o^2 = 1$ .

$$Q_{xy} = -1,56, \quad Q_{xz} = -1,20, \quad Q_{yz} = +1,03,$$

Les éléments diagonaux sont toujours positifs.

$$N_{\text{nœud 9}} \begin{bmatrix} Q_{xx} & Q_{xy} \\ Q_{xy} & Q_{yy} \end{bmatrix} = \begin{bmatrix} 1,55 & -0,315 \\ & 0,92 \end{bmatrix}$$

Il n'y a plus qu'une ellipse de déformation. Cette courbe est inscrite dans le rectangle défini par les valeurs :

$$\sqrt{1,55} = \pm 1,24 \quad \sqrt{0,92} = \pm 0,96$$

$1,55 + 0,92 = 2,47$  est aussi un invariant (cercle orthoptique)

$$K_1 = 1,68 \quad K_2 = 0,79 \quad K_3 = 0. \quad K_1 K_2 = Q_{xx} Q_{yy} - Q_{xy}^2$$

$$\sqrt{K_1} = 1,30 \quad \sqrt{K_2} = 0,89 \quad (\text{voir [4], [2]}).$$

On pourrait calculer les directions des axes principaux; la valeur  $m_o$  caractérise l'ellipse dite moyenne. La forme de cette courbe présente de l'intérêt. Une prochaine publication sera consacrée à un système articulé comportant un nombre plus élevé de barres surabondantes.

#### LITTÉRATURE

- [1] ABSI, E. : *Systèmes hyperstatiques de degré élevé* (Paris, 1963).
- [2] BAESCHLIN, F. : *Ausgleichsrechnung* (Cours ETH).
- [3] FRIEDRICH, K. : *Methode der kleinsten Quadrate aus den Grundsätzen der Mechanik abgeleitet* (Zeitschr. f. Vermessungswesen, 1943).
- [4] HOLSEN, J. : *Das Fehlerellipsoid* (Schweiz. Zeitschr. f. Vermessung, 1956).
- [5] MAYOR, B. : *Introduction à la statique des systèmes de l'espace* (Payot, Lausanne).
- [6] SALLES, F. : *Initiation à la théorie de l'énergie élastique* (Dunod, Paris).
- [7] STÜSSI, F. : *Baustatik I, II* (Birkhäuser, Bâle).
- [8] ANSERMET, A. : *Déformations en hyperstatique spatiale* (Bulletin technique, 1963).
- [9] GROSSMANN, W. : *Grundzüge der Ausgleichsrechnung* (Springer, Berlin).
- [10] ZURMÜHL R. : *Matrizen* (Springer Verlag).

Matrice symétrique aux coefficients de poids (inverse de la précédente)  
(Établie par la centrale de l'EPUL pour le calcul électronique)

2,442	- 1,562	+ 1,948	+ 1,528	+ 0,728	- 0,385	- 0,088	- 0,723
	2,423	- 1,044	+ 1,044	- 0,936	- 0,164	+ 0,703	+ 0,703
		1,021	- 1,021	+ 0,320	+ 0,097	- 0,176	- 0,176
		+ 2,578	- 2,578	+ 1,153	+ 0,234	+ 0,149	+ 0,149
		+ 2,377	- 2,377	+ 0,971	+ 0,234	+ 0,001	+ 0,001
		+ 2,601	- 2,601	+ 1,015	+ 1,833	+ 0,517	+ 0,517
		+ 1,181	- 1,181	+ 0,971	+ 0,918	+ 0,207	+ 0,207
		+ 1,001	- 1,001	+ 0,975	+ 1,540	+ 1,803	+ 1,803
		+ 1,711	- 1,711	+ 1,696	+ 1,833	+ 1,833	+ 1,833
		+ 2,497	- 2,497	+ 2,434	+ 1,833	+ 1,833	+ 1,833
		+ 2,091	- 2,091	+ 1,044	+ 1,833	+ 1,833	+ 1,833
		+ 1,522	- 1,522	+ 0,975	+ 1,833	+ 1,833	+ 1,833
		+ 0,923	- 0,923	+ 1,696	+ 1,833	+ 1,833	+ 1,833
		+ 0,271	- 0,271	+ 2,434	+ 1,833	+ 1,833	+ 1,833
		+ 0,905	- 0,905	+ 0,107	+ 1,833	+ 1,833	+ 1,833
		+ 1,022	- 1,022	+ 0,303	+ 1,833	+ 1,833	+ 1,833
		+ 1,573	- 1,573	+ 1,454	+ 1,833	+ 1,833	+ 1,833
		+ 0,505	- 0,505	+ 0,169	+ 1,833	+ 1,833	+ 1,833
		+ 0,311	- 0,311	+ 0,047	+ 1,833	+ 1,833	+ 1,833
		+ 0,117	- 0,117	+ 0,200	+ 1,833	+ 1,833	+ 1,833
		+ 0,861	- 0,861	+ 0,919	+ 1,833	+ 1,833	+ 1,833
		+ 1,392	- 1,392	+ 0,564	+ 1,833	+ 1,833	+ 1,833
		+ 0,187	- 0,187	+ 0,564	+ 1,833	+ 1,833	+ 1,833
		+ 0,326	- 0,326	+ 0,564	+ 1,833	+ 1,833	+ 1,833
		+ 1,564	- 1,564	+ 0,057	+ 1,833	+ 1,833	+ 1,833
		+ 0,151	- 0,151	+ 0,057	+ 1,833	+ 1,833	+ 1,833
		+ 0,106	- 0,106	+ 0,057	+ 1,833	+ 1,833	+ 1,833
		+ 1,548	- 1,548	+ 0,057	+ 1,833	+ 1,833	+ 1,833
		+ 0,315	- 0,315	+ 0,057	+ 1,833	+ 1,833	+ 1,833
		+ 0,916	- 0,916	+ 0,057	+ 1,833	+ 1,833	+ 1,833
		+ 1,833	- 1,833	+ 0,057	+ 1,833	+ 1,833	+ 1,833
		+ 0,164	- 0,164	+ 0,057	+ 1,833	+ 1,833	+ 1,833
		+ 0,234	- 0,234	+ 0,057	+ 1,833	+ 1,833	+ 1,833
		+ 1,833	- 1,833	+ 0,057	+ 1,833	+ 1,833	+ 1,833
		+ 0,097	- 0,097	+ 0,057	+ 1,833	+ 1,833	+ 1,833
		+ 0,149	- 0,149	+ 0,057	+ 1,833	+ 1,833	+ 1,833
		+ 0,001	- 0,001	+ 0,057	+ 1,833	+ 1,833	+ 1,833
		+ 0,517	- 0,517	+ 0,057	+ 1,833	+ 1,833	+ 1,833
		+ 0,100	- 0,100	+ 0,057	+ 1,833	+ 1,833	+ 1,833
		+ 0,599	- 0,599	+ 0,057	+ 1,833	+ 1,833	+ 1,833
		+ 0,207	- 0,207	+ 0,057	+ 1,833	+ 1,833	+ 1,833
		+ 1,803	- 1,803	+ 0,057	+ 1,833	+ 1,833	+ 1,833

(11)